

Chemie životního prostředí II – Znečištění složek prostředí

Atmosféra

(10)

Smogy

Ivan Holoubek

RECETOX, Masaryk University, Brno, CR

holoubek@recetox.muni.cz; <http://recetox.muni.cz>



evropský
sociální
fond v ČR



EVROPSKÁ UNIE



MINISTERSTVO ŠKOLSTVÍ,
MLÁDEŽE A TĚLOVÝCHOVY

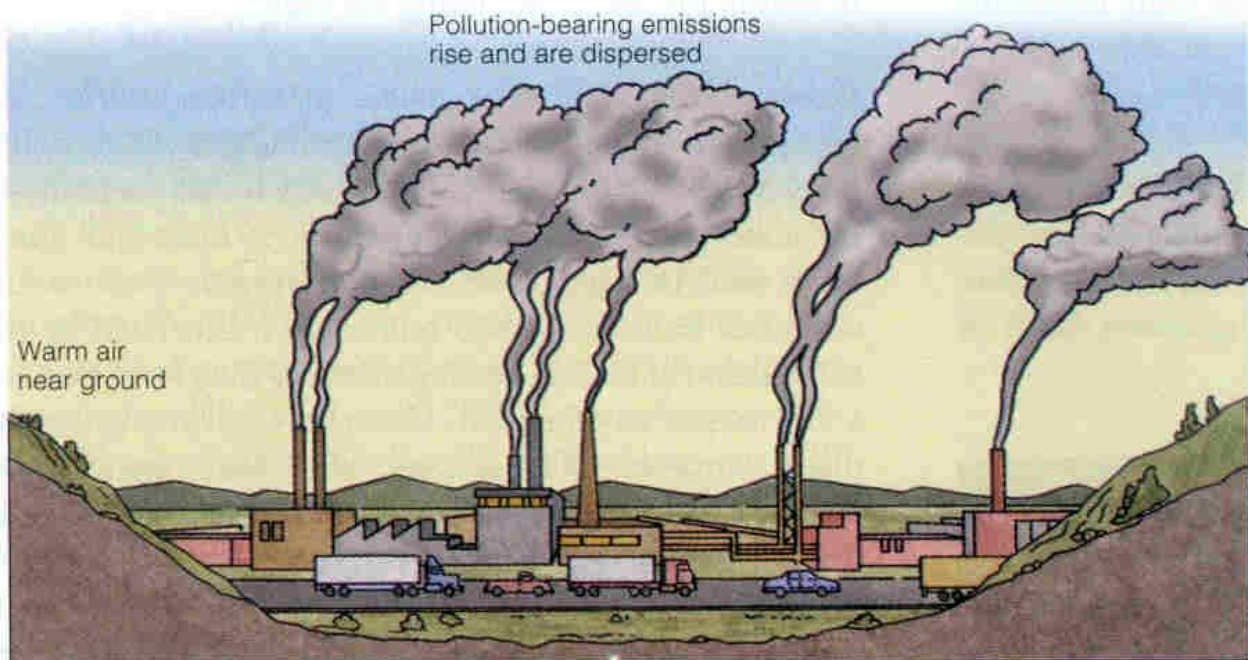


OP Vzdělávání
pro konkurenceschopnost

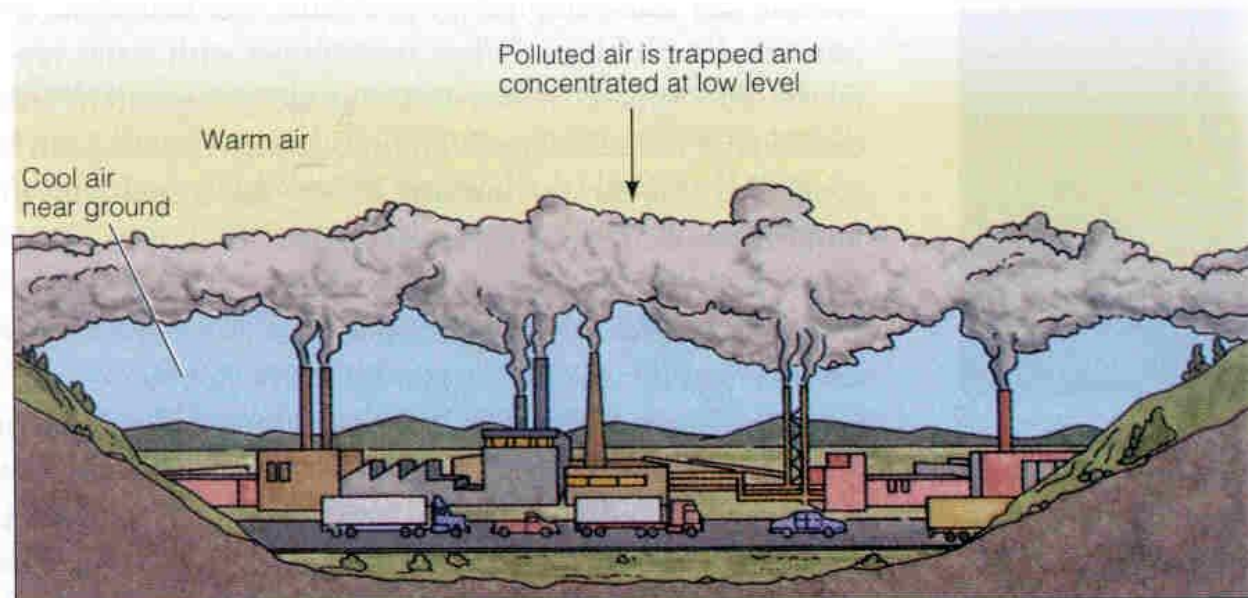


INVESTICE DO ROZVOJE VZDĚLÁVÁNÍ

Rozptyl škodlivin v atmosféře

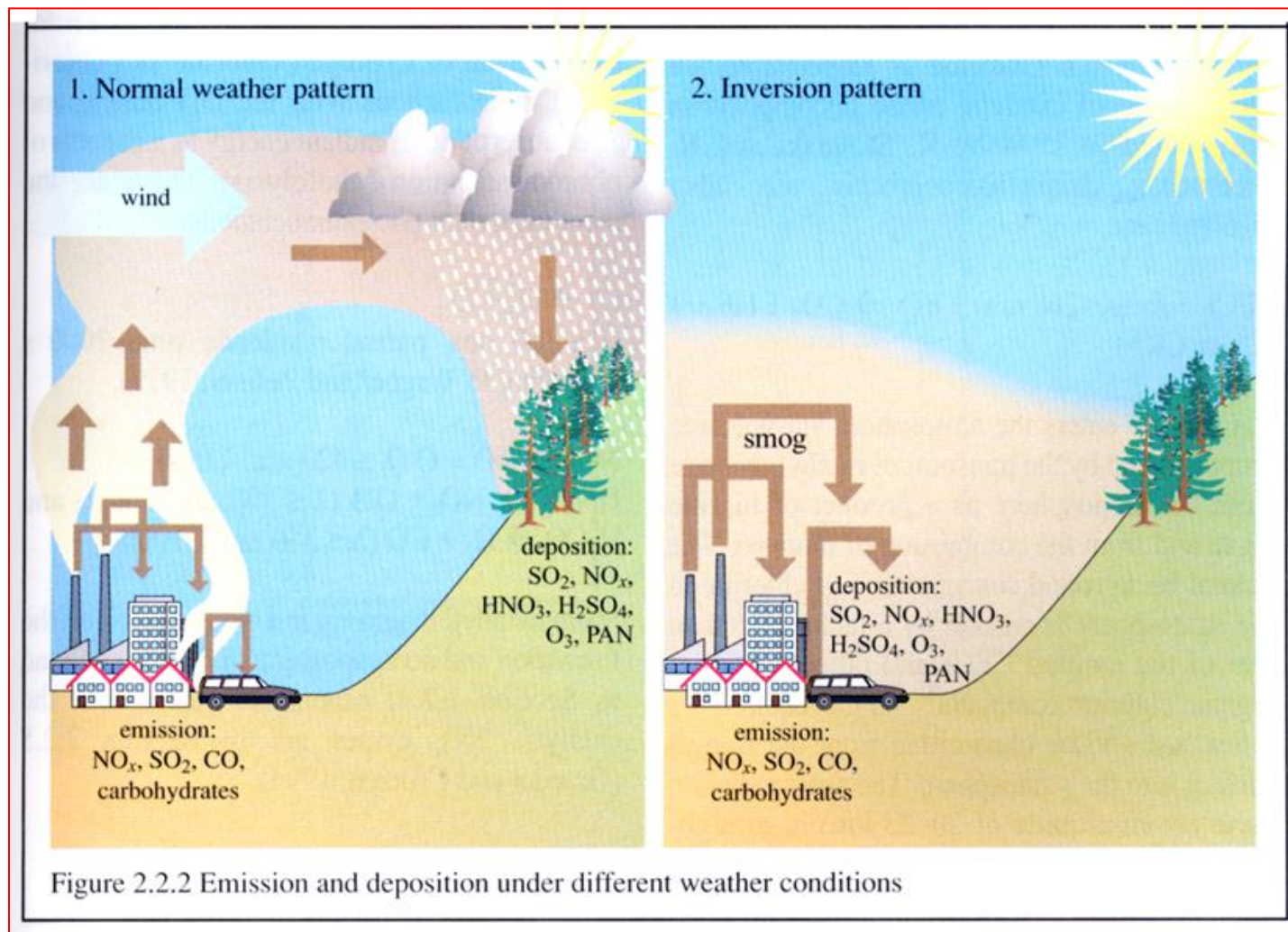


A.



B.

Emise a depozice za různých meteorologických podmínek



Smogy – meteorologické podmínky vzniku

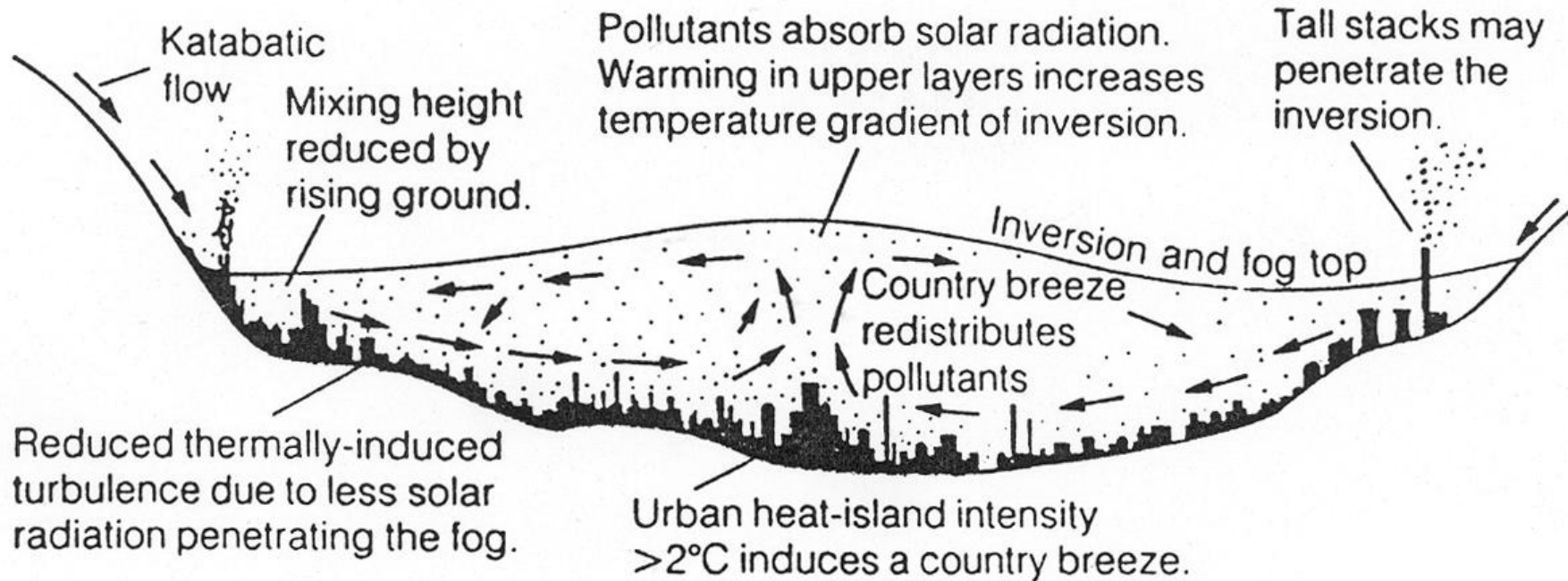


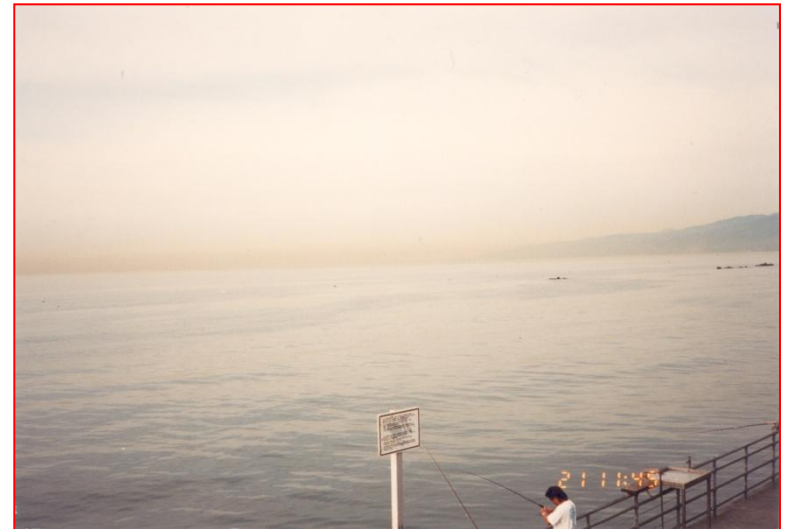
Figure 2.2 Meteorology-pollution relationships during a smog in a valley location

Source: Modified from Elsom, 1978b

Smogy

CHARAKTERISTIKY	KLASICKÝ	FOTOCHEMICKÝ
Místo prvního výskytu	Londýn	Los Angeles
Základní komponenty	SO _x , tuhé částice	O ₃ , NO _x , HCs, CO, volné radikály
Základní zdroje	Průmyslové a domácí spalování fosilních paliv (uhlí, nafta)	Automobilová doprava (benzín, nafta)
Vlivy na člověka	Dráždění horních a dolních cest dýchacích	Oční iritant
Vlivy na chemické látky	Redukční	Oxidační
Čas výskytu nejhorších epizod	Zimní měsíce, zvláště časné ráno (0 - 5 °C)	Okolo poledne v letních měsících (25 - 30 °C)

Fotochemický smog – Los Angeles

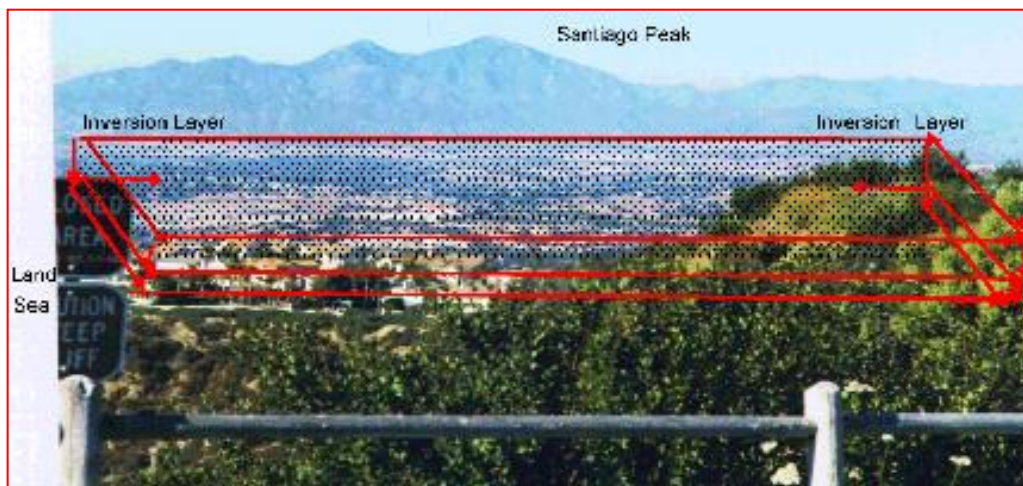


Fotochemický smog – Los Angeles

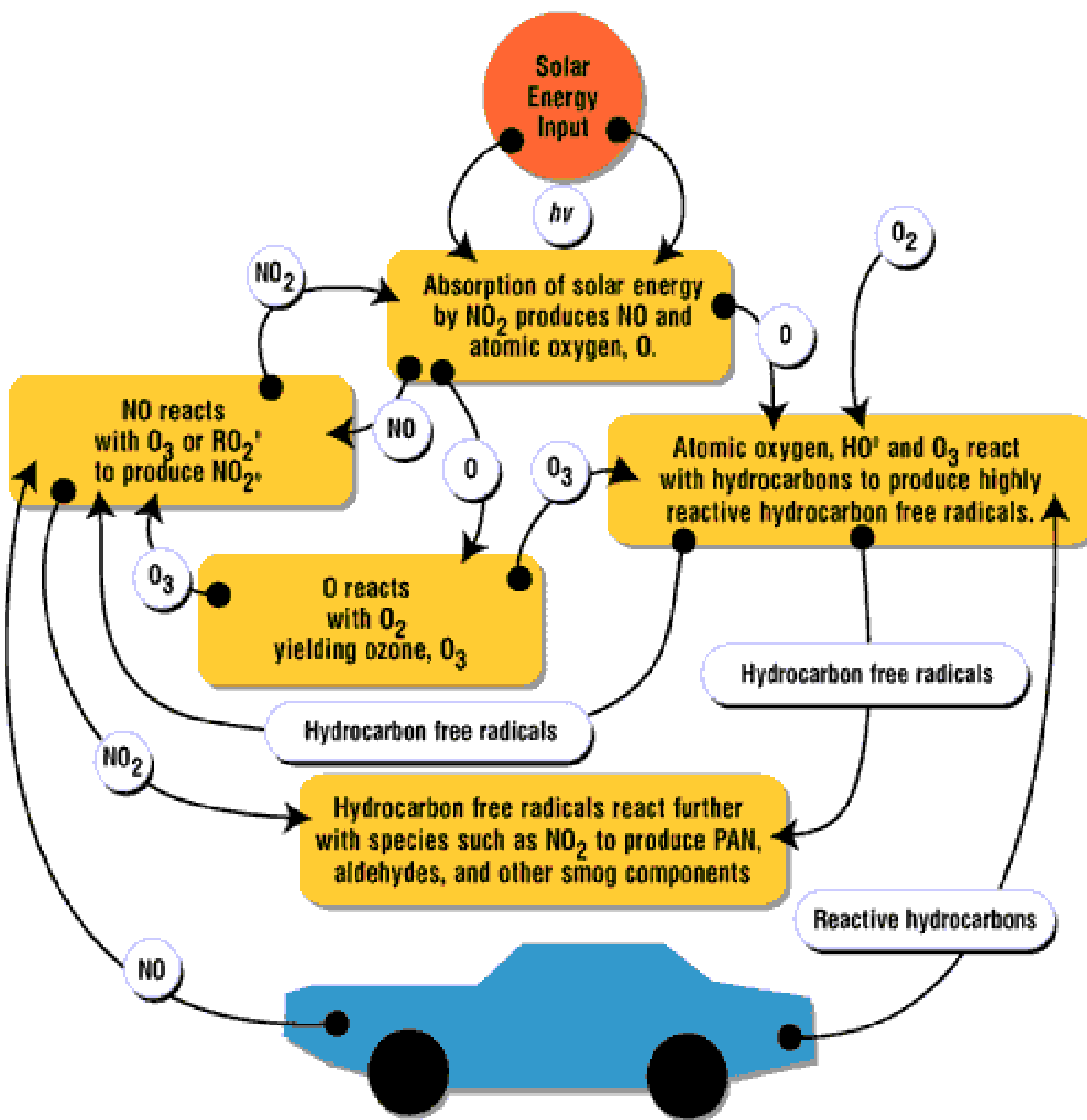


Figure 4.8. Photochemical smog in Los Angeles, California, on July 23, 2000. The smog hides the high-rise buildings in downtown Los Angeles and the mountains in the background.

Views of: a) intrusion of Los Angeles smog at the inversion layer into the Orange County air space near El Toro airport and Santiago Peak; b) Ocean fog entering the Aliso/Wood Canyons near El Toro air space; c) Representative volume of air space affected by fuel combustion of aircraft in landing and take off, LTO.

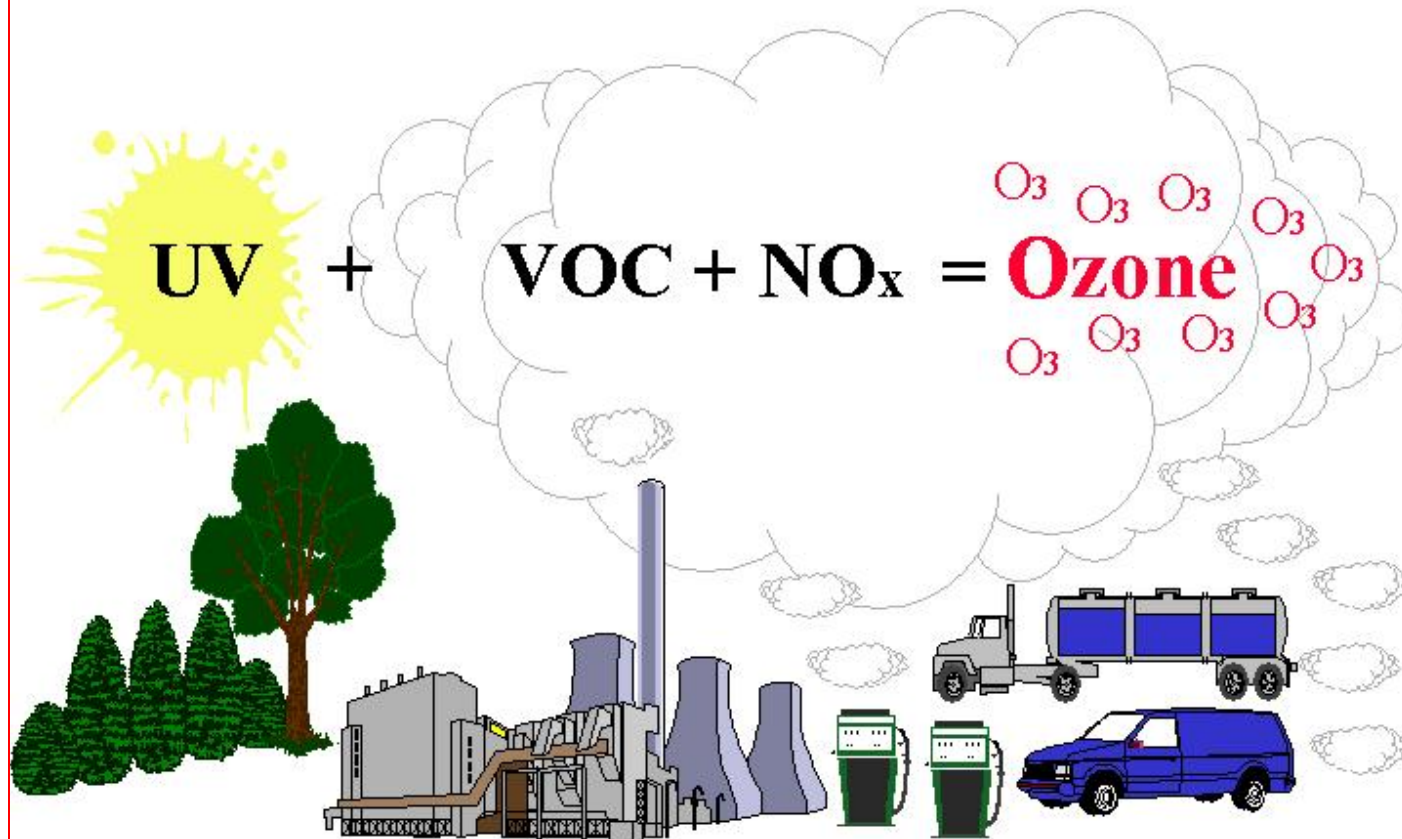


Fotochemický smog



Vznik přízemního ozonu

Ground-Level Ozone Formation



Vznik přízemního ozonu

Table 2.7 Highest hourly concentration of ozone observed at selected city sites in 1974^b

City	1-h concentration ^a	
	$\mu\text{g}/\text{m}^3$	ppm
Riverside, USA	744	0.37
Los Angeles, USA	548	0.27
Eindhoven, The Netherlands	420	0.21
Tokyo, Japan	380	0.19
Osaka, Japan	320	0.16
Washington, D.C., USA	312	0.16
London, UK	294	0.15
Bonn, FRG	290	0.15

^a0 1 ppm = 200 $\mu\text{g}/\text{m}^3$.

^bIn Europe, PAN concentrations during summer months are typically 1-2 ppb or less, with isolated peaks during episodes of 16-20 ppb, while in Japan they may reach 30 ppb. In contrast, the Los Angeles basin experiences peaks of 40-210 ppb and monthly means of 4-9 ppb (Temple and Taylor, 1983)

Source: World Health Organization, 1979b



Fotochemický smog

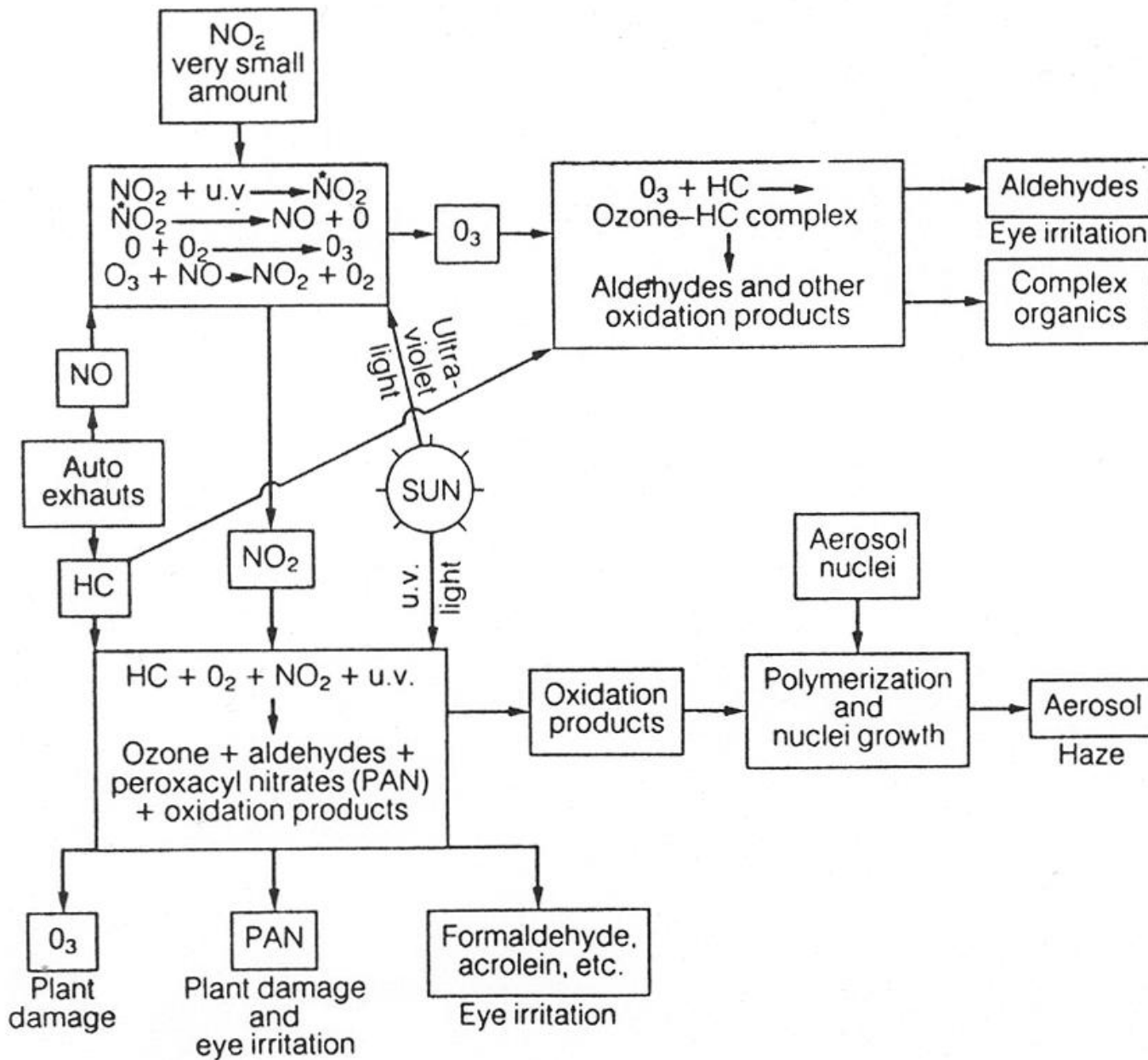
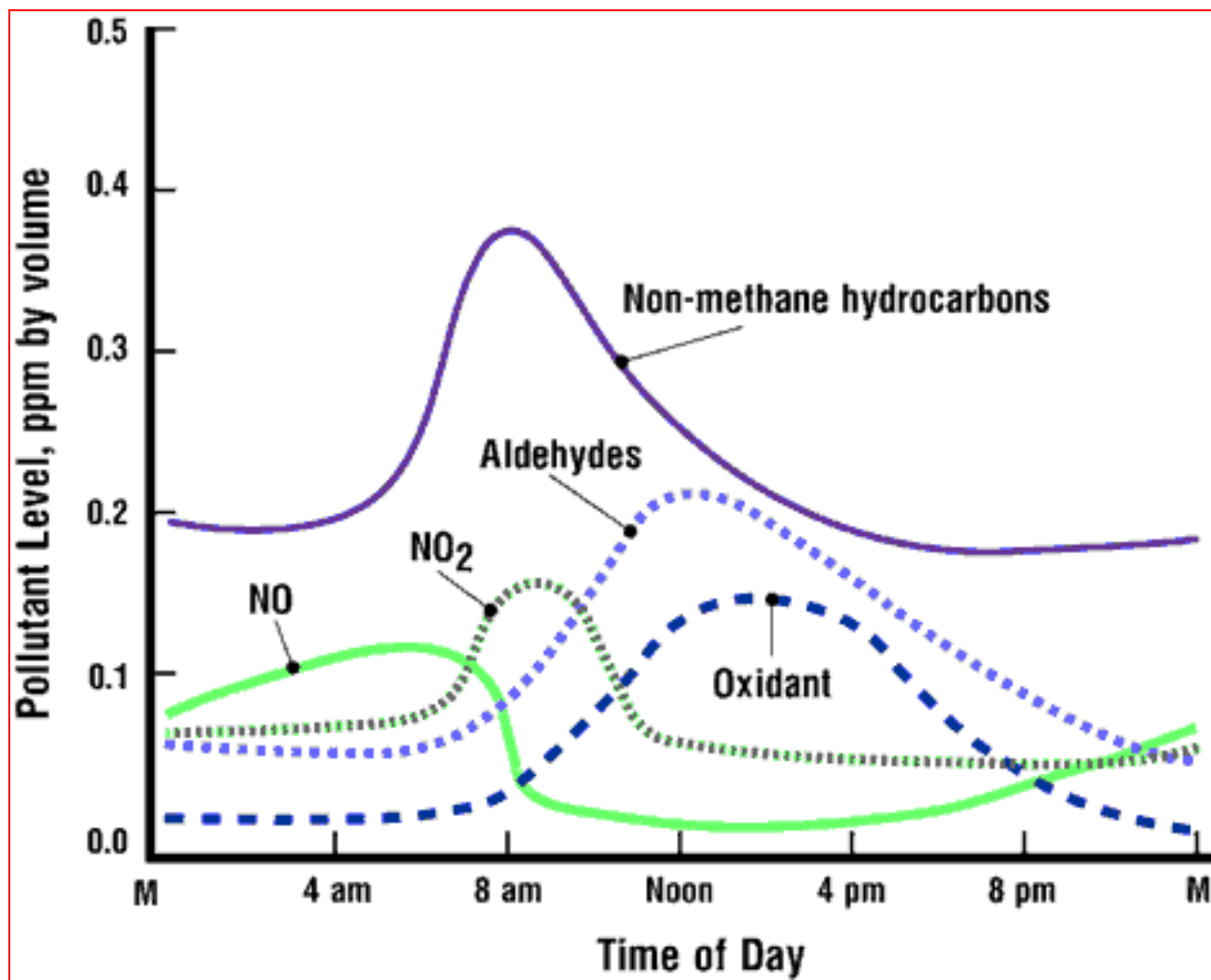
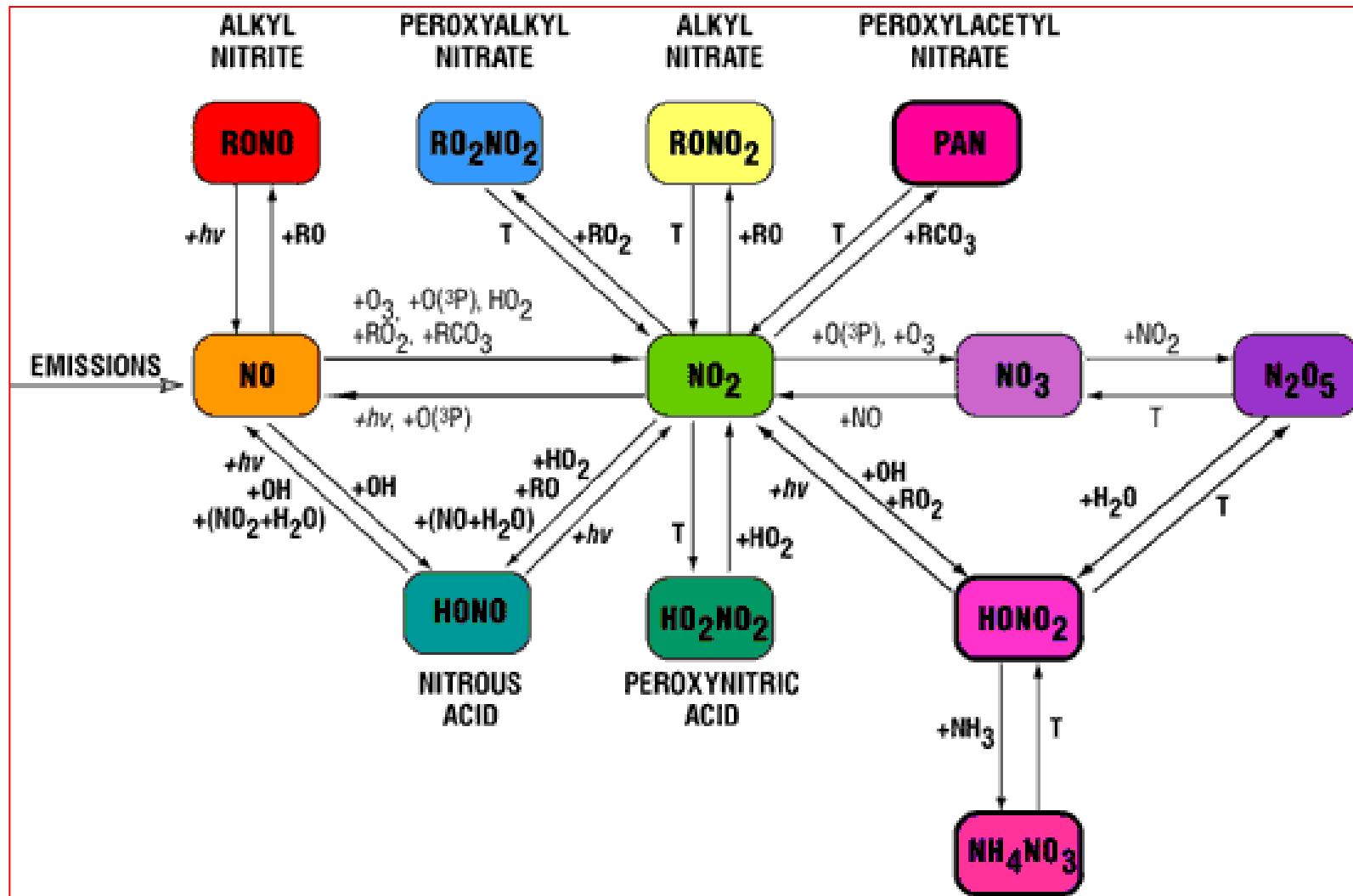


Figure 2.7 Photochemical smog formation
Source: modified from Faith and Atkisson, 1972

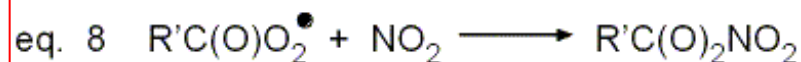
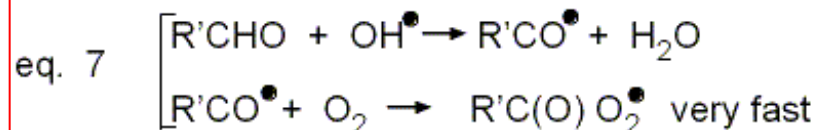
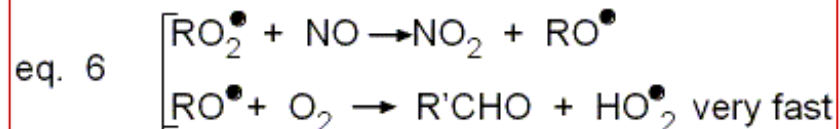
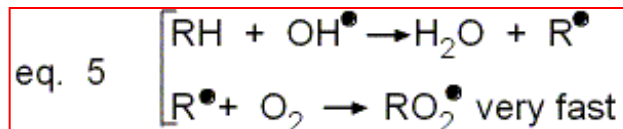
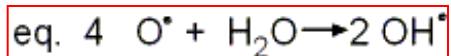
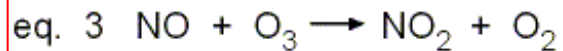
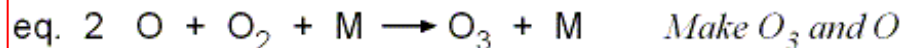
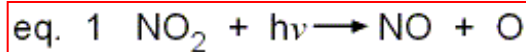
Fotochemický smog – denní variace



Fotochemický smog



Fotochemický smog – reakce



RH = any hydrocarbon (i.e., CH₃CH₂CH₃ or CH₃CH₃)

R'CHO = an aldehyde ($\text{R}'-\text{C} \begin{array}{l} \text{O} \\ // \\ \text{H} \end{array}$)

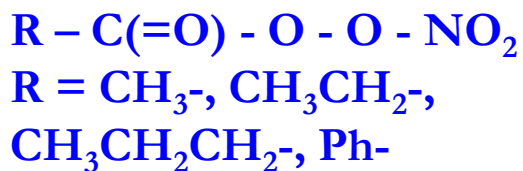
R'CO[•] = an acyl radical ($\text{R}'-\text{C} \begin{array}{l} \text{O} \\ // \\ \cdot \end{array}$)

R'C(O)O₂[•] = an acylperoxy radical ($\text{R}'-\text{C} \begin{array}{l} \text{O} \\ // \\ \text{O}-\text{O} \cdot \end{array}$)

R'C(O)O₂NO₂ = an acylperoxy nitrate ($\text{R}'-\text{C} \begin{array}{l} \text{O} \\ // \\ \text{O}-\text{O}-\text{NO}_2 \end{array}$)

When R' is a methyl group (CH₃—) this substance is called Peroxyacyl nitrate, or PAN

Peroxyacylnitráty (PANs)



Výskyt PAN v atmosféře:

Fytotoxicita = 10 ppb / 5 hod.

Místo výskytu	Doba sledování	Maximální koncentrace PAN [ppb]
Los Angeles, CA	1965	210
Riverside, CA	1968	58
Padasena, CA	1972	53
Salt Lake City, UT	1966	57
Calgery, CAN	1982	7
Essen, FRG	1973	20
Londýn, UK	1974-5	16
Tokyo, JPN	1973	32
Litvínov, ČSSR	1979	40

Dráždí sliznice,
fytoxicita,
inaktivace enzymů
oxidací SH- skupin,
negativní ovlivnění
syntézy mastných
kyselin, inhibice
fixace CO₂, redukce
N nukleotidů a
fotosyntetické
fosforylace

Fotochemické oxidační reakce organických látek

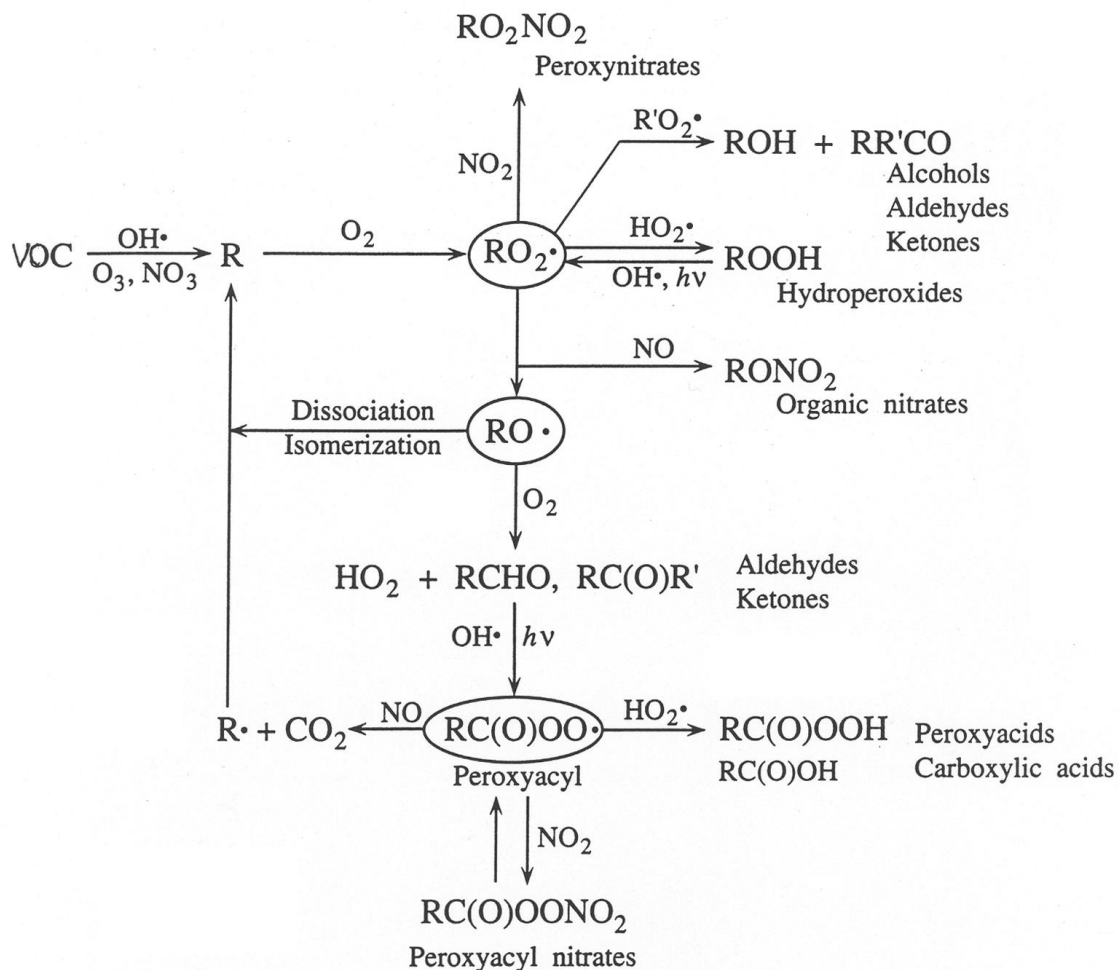


FIGURE 5.13 Organic radicals and products in the photooxidation of an organic molecule.

Redukční smog

Vhodná atmosférická situace - dlouhodobá teplotní inverze

Emise: SO₂, popílek, saze

Stabilní atmosféra - nedochází k pohybu vzdušných mas ⇒
prudký nárůst koncentrace SO₂ a tuhých částic a pokles
koncentrace kyslíku

SO₂ je oxidován na H₂SO₄ - mechanismy viz SO₂

Mlha je nezbytnou podmínkou vzniku - dominantní typ
v nočních hodinách

Londýnský smog

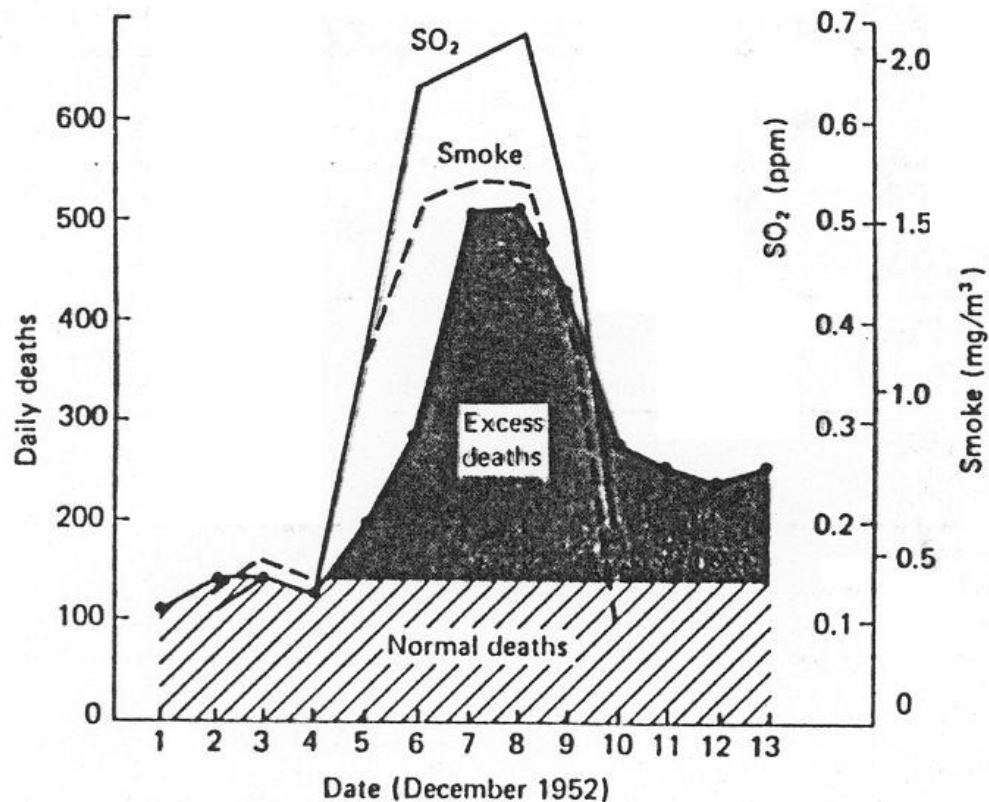
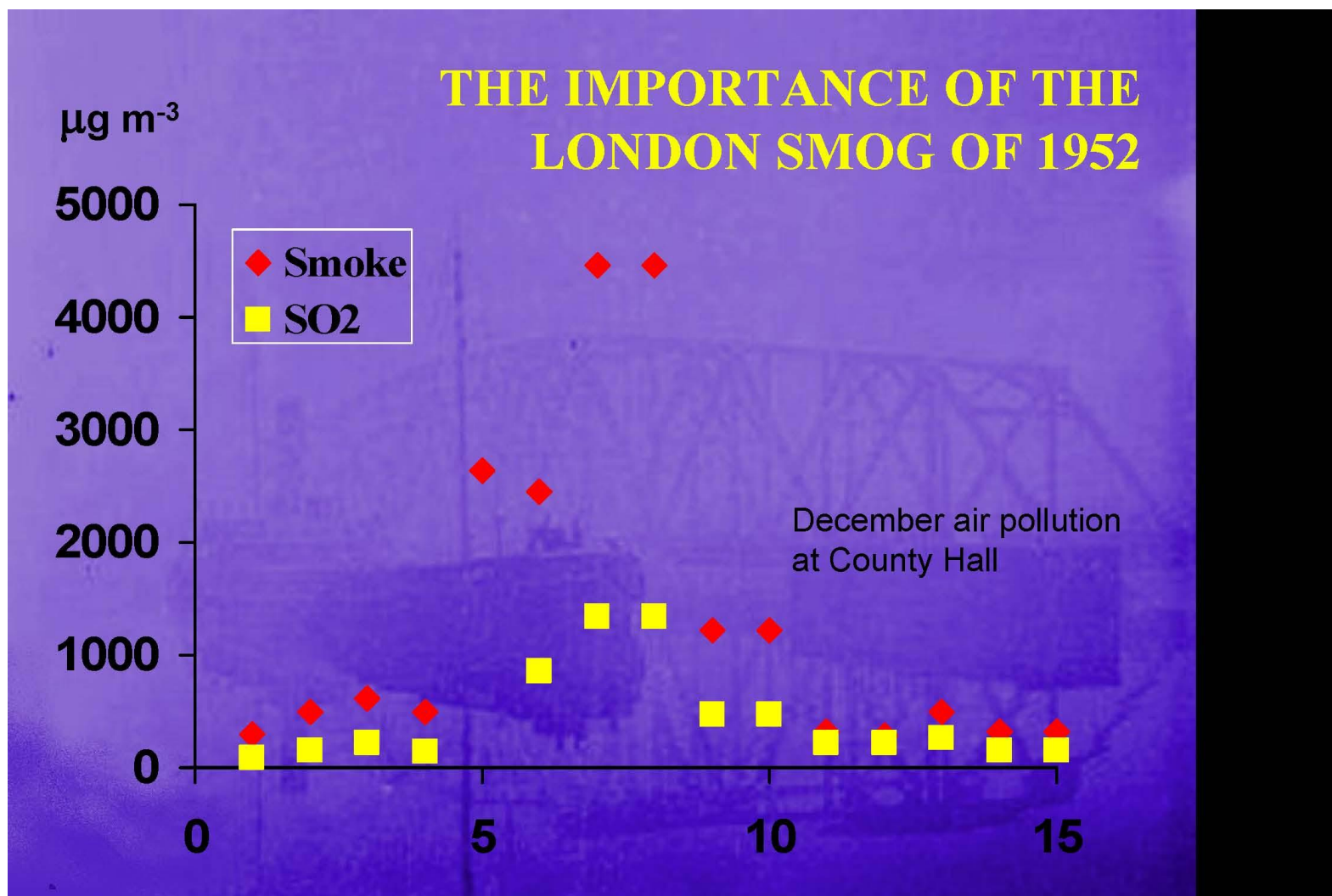
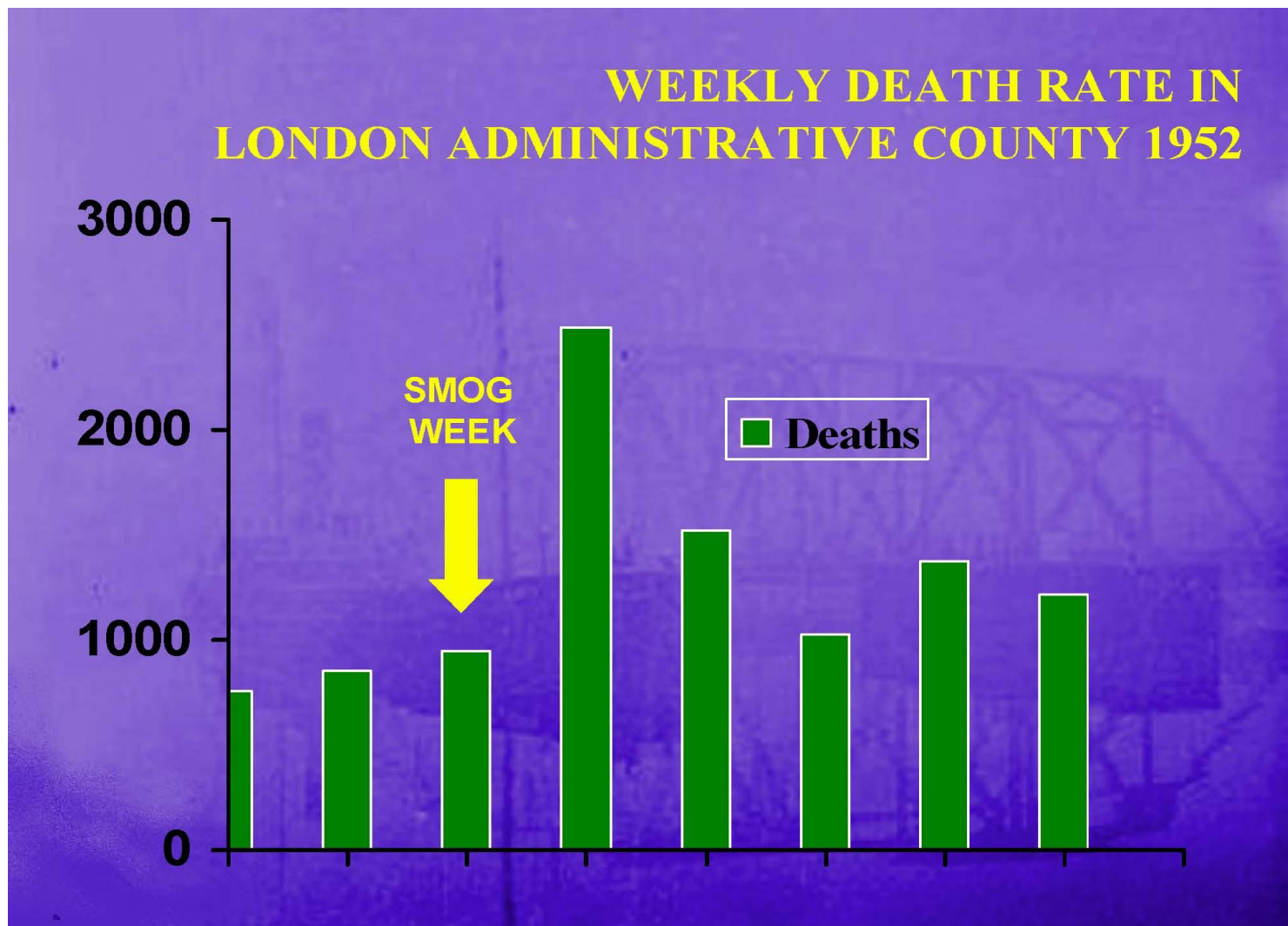


FIGURE 3-1 Sulfur dioxide and smoke concentrations and daily deaths in London Administrative County before, during, and after the great smog of December 5 to 9, 1952. [5, 6]

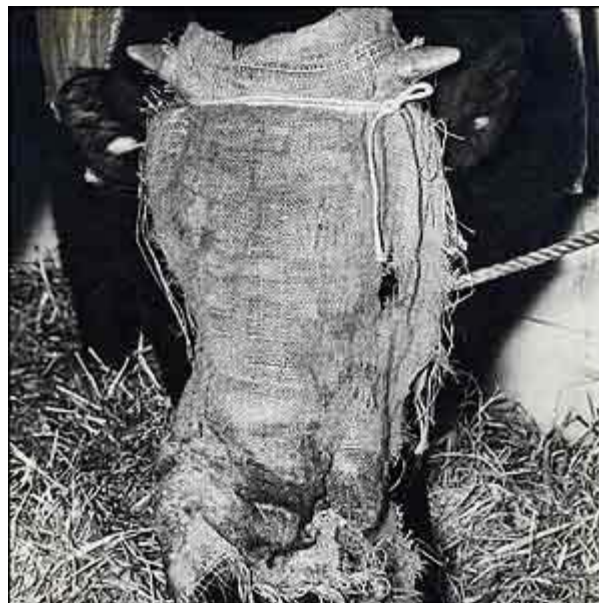
Londýnský smog



Londýnský smog



Londýnský smog a problémy obyvatel



- ↪ Zastaven provoz autobusů, zrušeny fotbalové zápasy
- ↪ Problémy hospodářských zvířat
- ↪ Nemožnost najít cestu domů

Struktura přijatého zákona

Many clauses

- PHA (1936) 6
- CAA (1956) > 40

Detail in memoranda

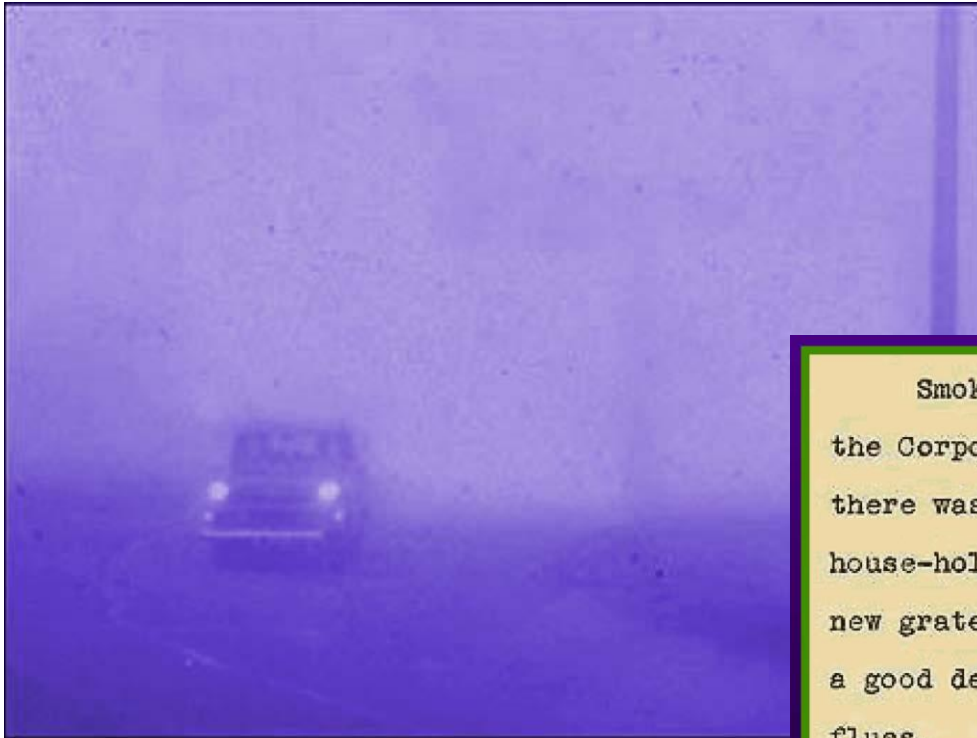
- chimney heights
- smoke control areas
- industrial premises

Compare with EC/96/62

Air Quality Monitoring and Management Directive

Problémy

Nedostatek vhodného paliva



Smokeless fuel grates were being installed in the Corporation's houses. Unfortunately, however, there was not enough smokeless fuel so that the house-holders were having to burn smoky fuel on these new grates and the Corporation was having to incur a good deal of expenditure on cleaning and altering flues.

R.W.B. CLARKE

30th June, 1955

CRAWLEY: CLEAN AIR

Dnes

CAA(1956) affects our concept of environment

Personal freedom and the automobile

Doubts - public transport will never cope



Smogy – Ostravsko, únor, 2011



Smogy - Česká kotlina





INVESTICE DO ROZVOJE VZDĚLÁVÁNÍ

**Inovace tohoto předmětu je spolufinancována
Evropským sociálním fondem a státním rozpočtem
České republiky**